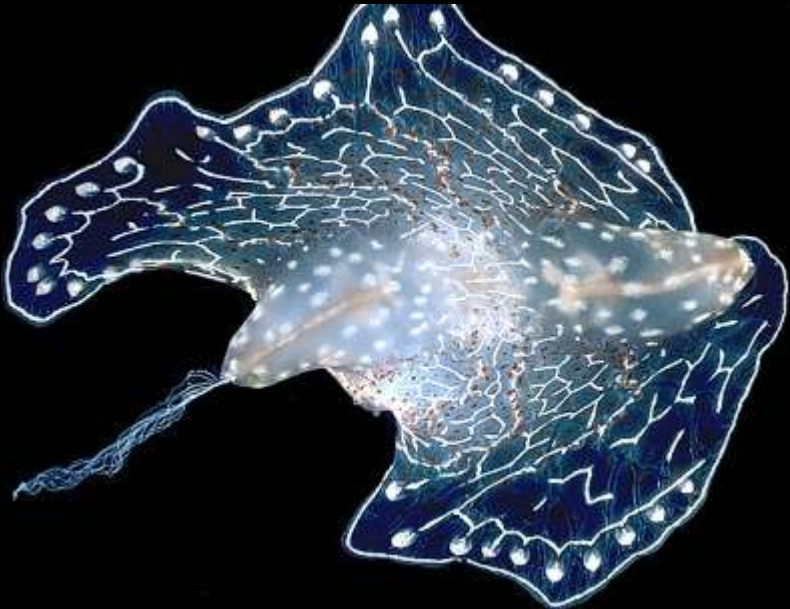


Отряд Platyctenida



Ctenoplana species

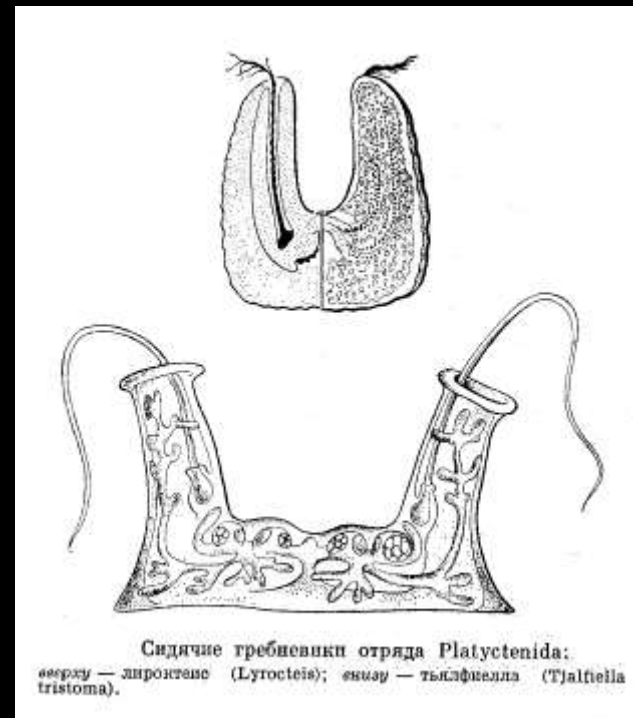


Coeloplana bannwarti





Lyrocteis flavopallidus



Сидячие требинки отряда Platycetenida:
вверху — лироктес (Lyrocteis); внизу — тыхифиелла (Tychiella tristoma).





©2007 Alvaro Migotto



©2007 Alvaro Migotto



©2007 Alvaro Migotto

Vallicula multiformis

Vallicula multiformis: locomotion



Vallicula multiformis: on a red alga





Coeloplana meteoris





©2006 poppeimages



©2006 poppeimages

Coeloplana astericola



©2006 poppeimages

Coeloplana species



Ctenoplana sp.

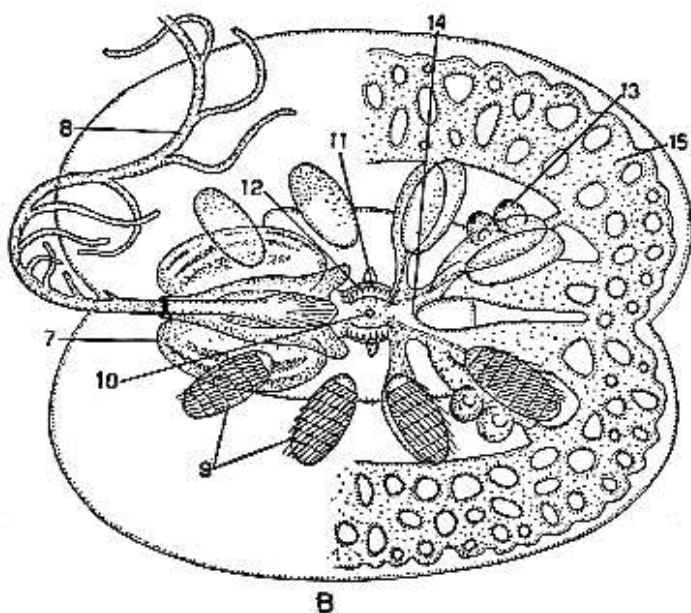


FIG. 218.—Lobata, Platyctenes. A. *Leucothea* (= *Eucharis*) (after Mayer, 1912), showing papillae and very large oral lobes. B. Diagram of the structure of *Ctenoplana* (after Komář, 1934); left side, external parts; right side, internal. 1, papillae; 2, auricles; 3, main tentacle; 4, oral lobe; 5, winding canals of oral lobe; 6, muscle fibers of lobe; 7, tentacle sheath; 8, tentacle; 9, comb rows; 10, statocyst; 11, anal pores; 12, pharynx; 13, gonads; 14, gastrovascular canals; 15, peripheral network of same.

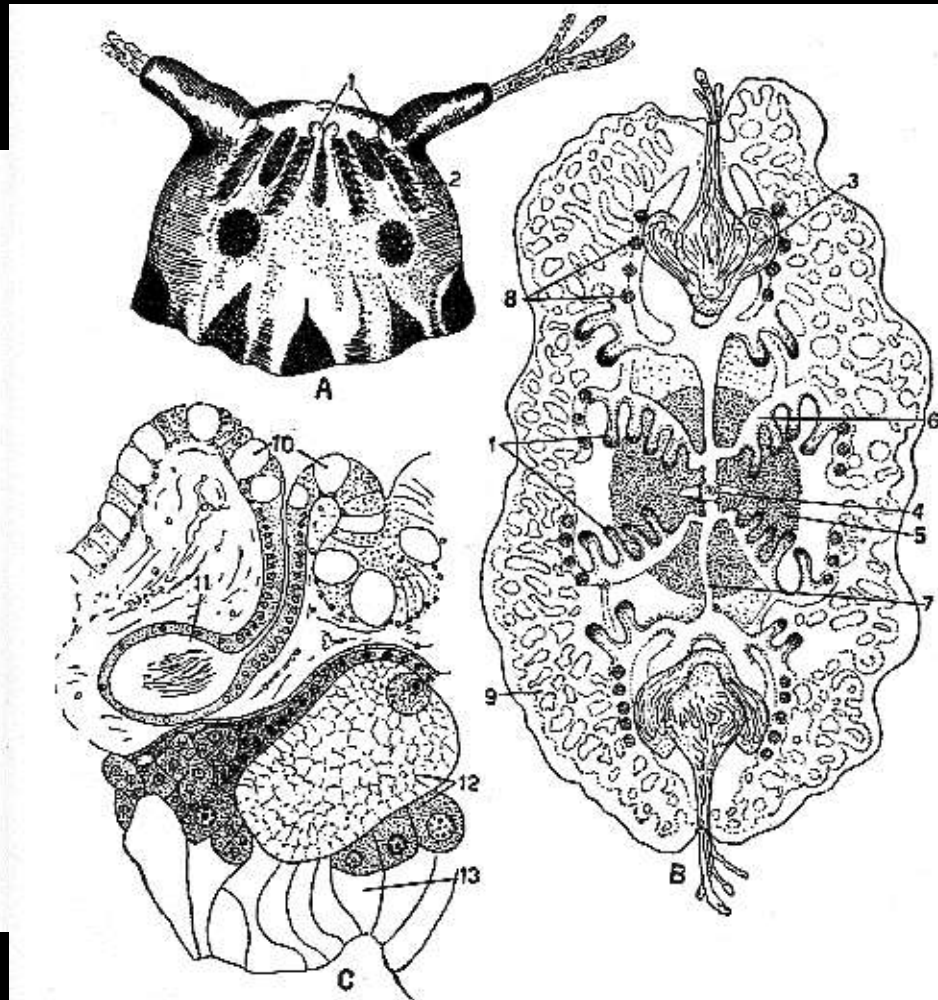


FIG. 219.—Platyctenes (continued). A. *Ctenoplana* swimming. (After Dawyoff, 1933.) B. *Coeloplana meaniti*. (After Dawyoff, 1933.) C. Section through an ovary of *Ctenoplana*, showing seminal receptacle. (After Komář, 1922.) 1, papillae; 2, comb rows; 3, tentacle sheath; 4, statocyst; 5, pharynx; 6, meridional canals; 7, tentacular canals; 8, gonads; 9, peripheral network of digestive system; 10, epidermis; 11, seminal receptacle; 12, ovary; 13, wall of meridional canal.

(Dawyoff, 1929; Hyman, 1940)

Coeloplana sp.

Tjalfiella sp.

Tjalfiella sp.

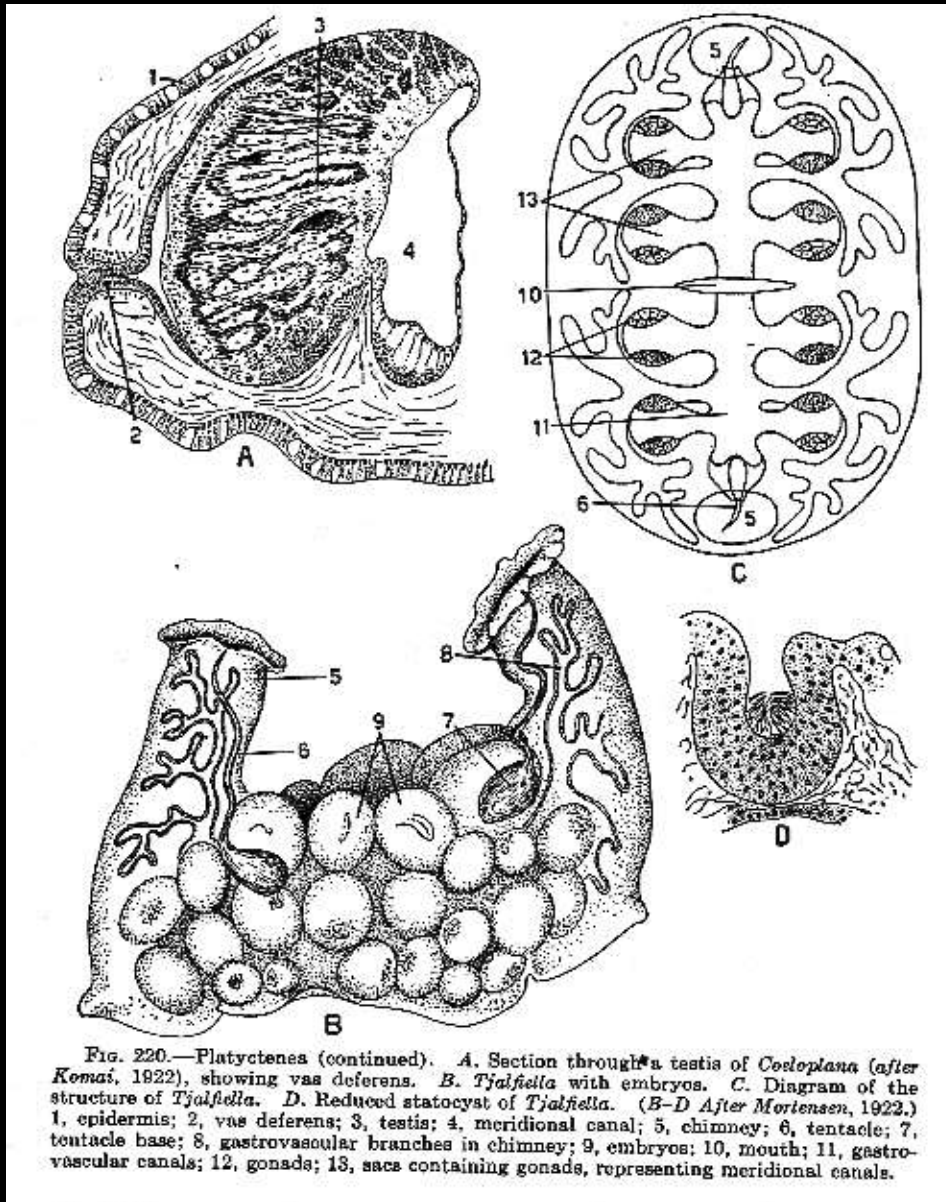


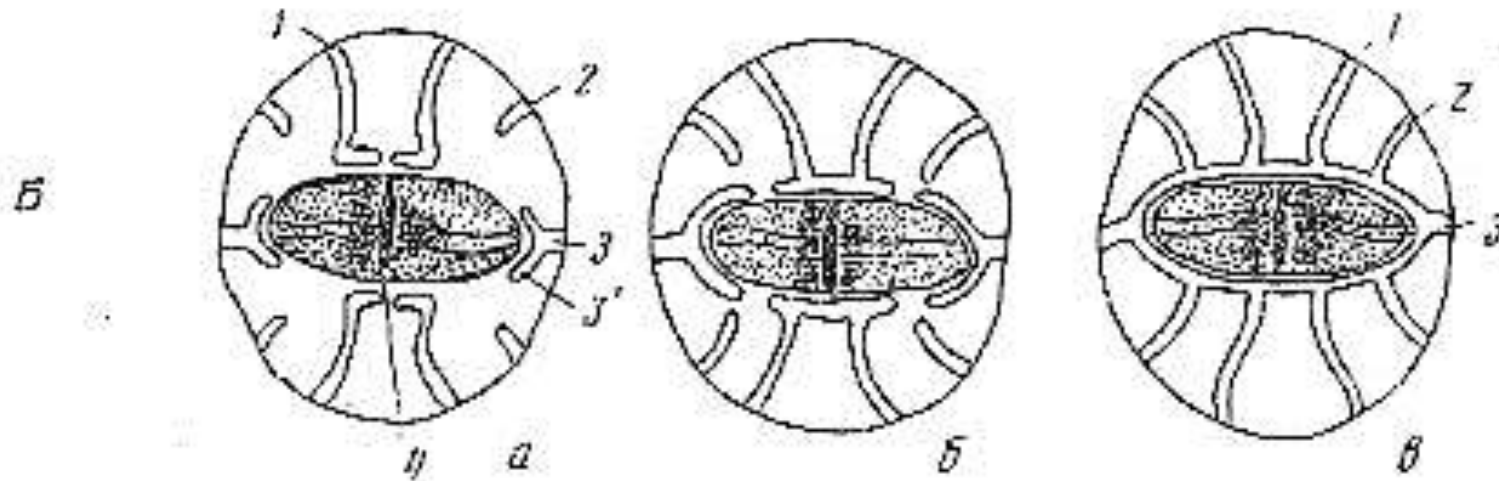
FIG. 220.—*Platyctenes* (continued). A. Section through a testis of *Coeleplana* (after Komai, 1922), showing vas deferens. B. *Tjalfiella* with embryos. C. Diagram of the structure of *Tjalfiella*. D. Reduced statocyst of *Tjalfiella*. (B-D After Mortensen, 1922.) 1, epidermis; 2, vas deferens; 3, testis; 4, meridional canal; 5, chimney; 6, tentacle; 7, tentacle base; 8, gastrovascular branches in chimney; 9, embryos; 10, mouth; 11, gastrovascular canals; 12, gonads; 13, sacs containing gonads, representing meridional canals.

(Hyman, 1940)

Метаморфоз *Ganeshida*

Ganessa elegans

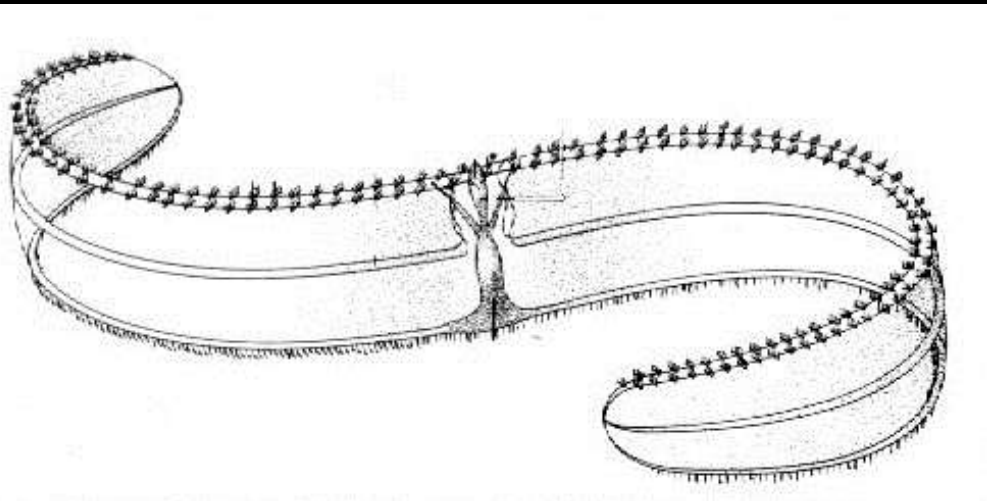
Ganessa annamita



(Осповат, 1985)

- 1 – субсагиттальные меридиональные каналы;
- 2 – субтентакулярные меридиональные каналы;
- 3 – парагастральные каналы гастронекстулярной системы.

Отряд Cestida



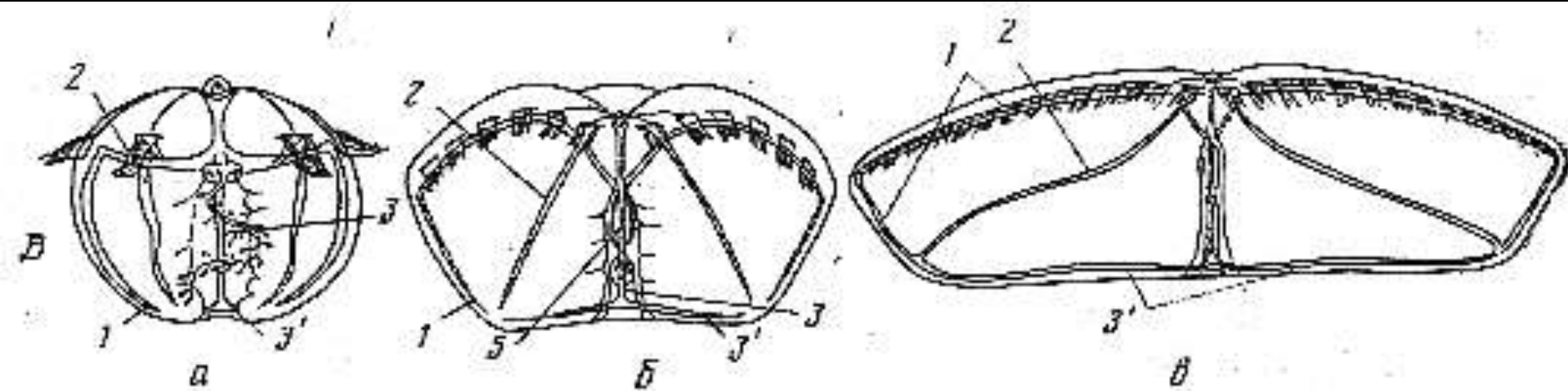
Cestum veneris



9.b
©Steven Haddock

Velamen parallelum

Метаморфоз Cestida



(Осповат, 1985)

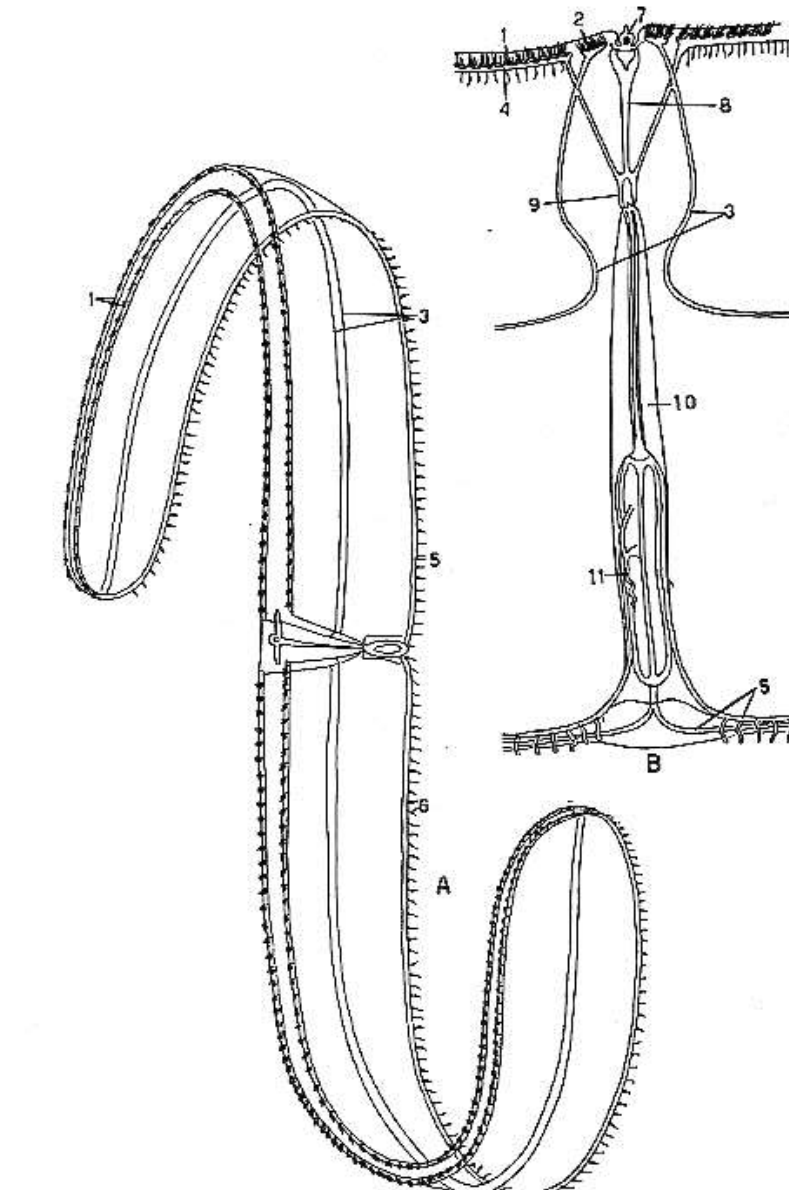
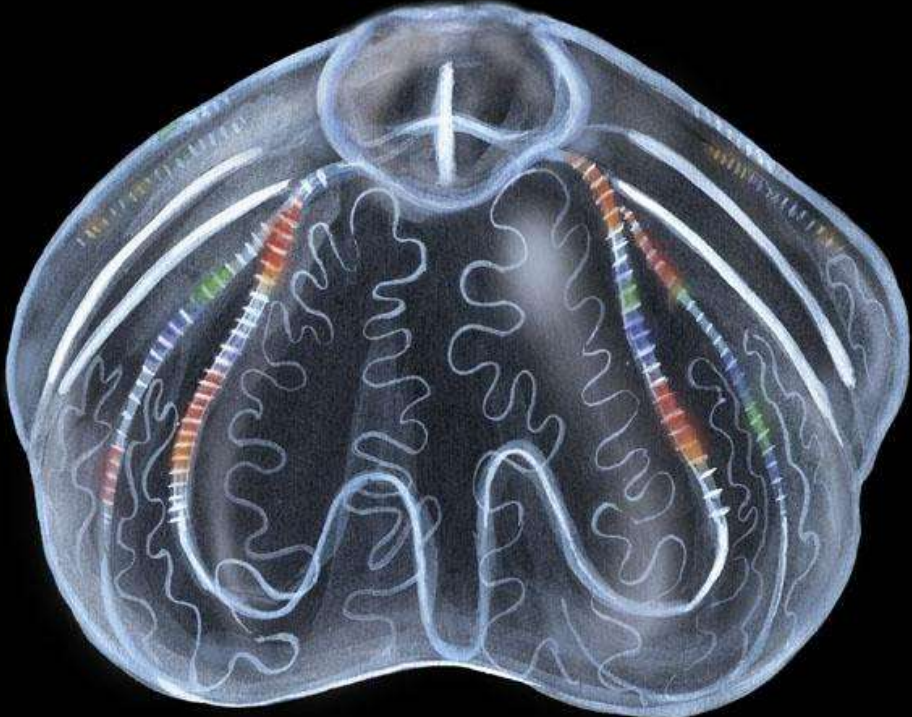


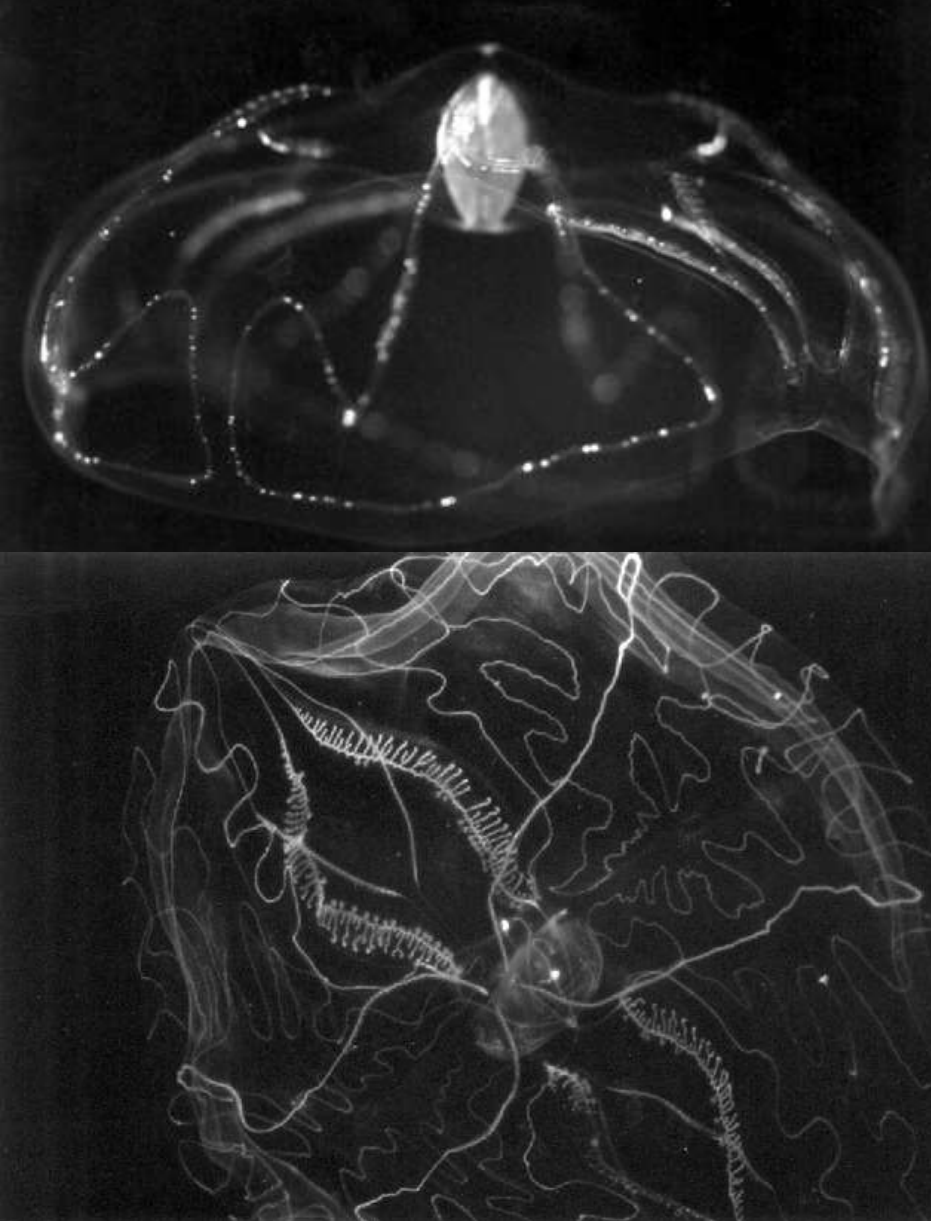
FIG. 212.—Order Cestida. A. Velamen. B. Central region of *Cestum veneris*. (A and B after Mayer, 1912.) 1, subsgittal comb rows; 2, subtentacular comb rows; 3, subtentacular meridional canals; 4, subsgittal meridional canals; 5, pharyngeal canals; 6, tentacles; 7, statocyst; 8, aboral canal; 9, stomach; 10, pharynx; 11, main tentacle.

(Hyman, 1940)

Отряд Thalassocalycida



Thalassocalyce inconstans



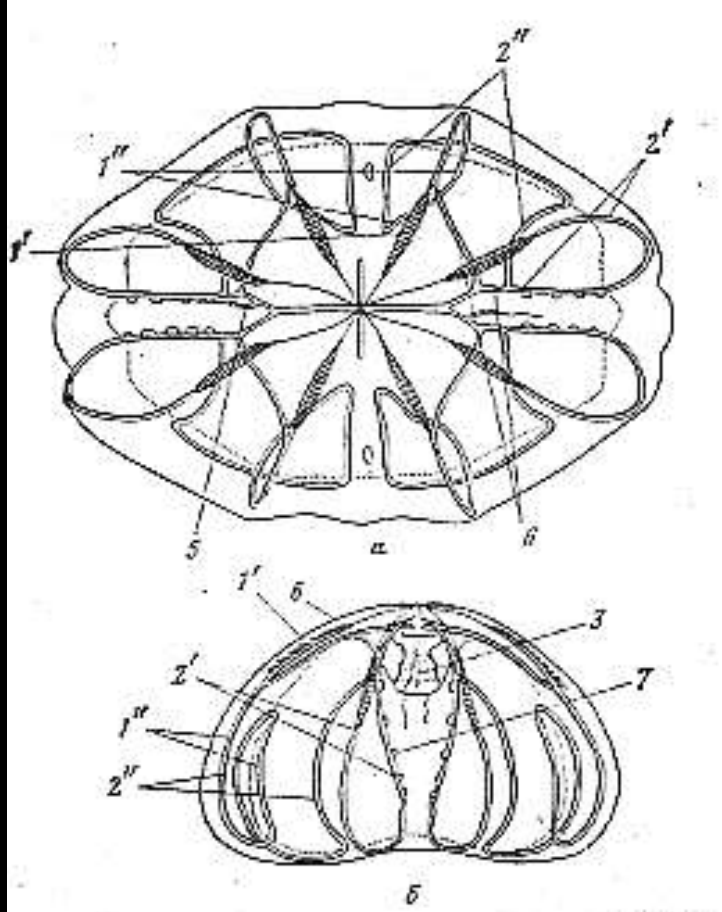


Рис. 6. *Thallassocalyce inconsans* (*Thallasocalyida*) (оригинальный рисунок по фотографиям Madin, Harbison, 1978); а — вид с аборального полюса, б — вид со стороны глоточной плоскости

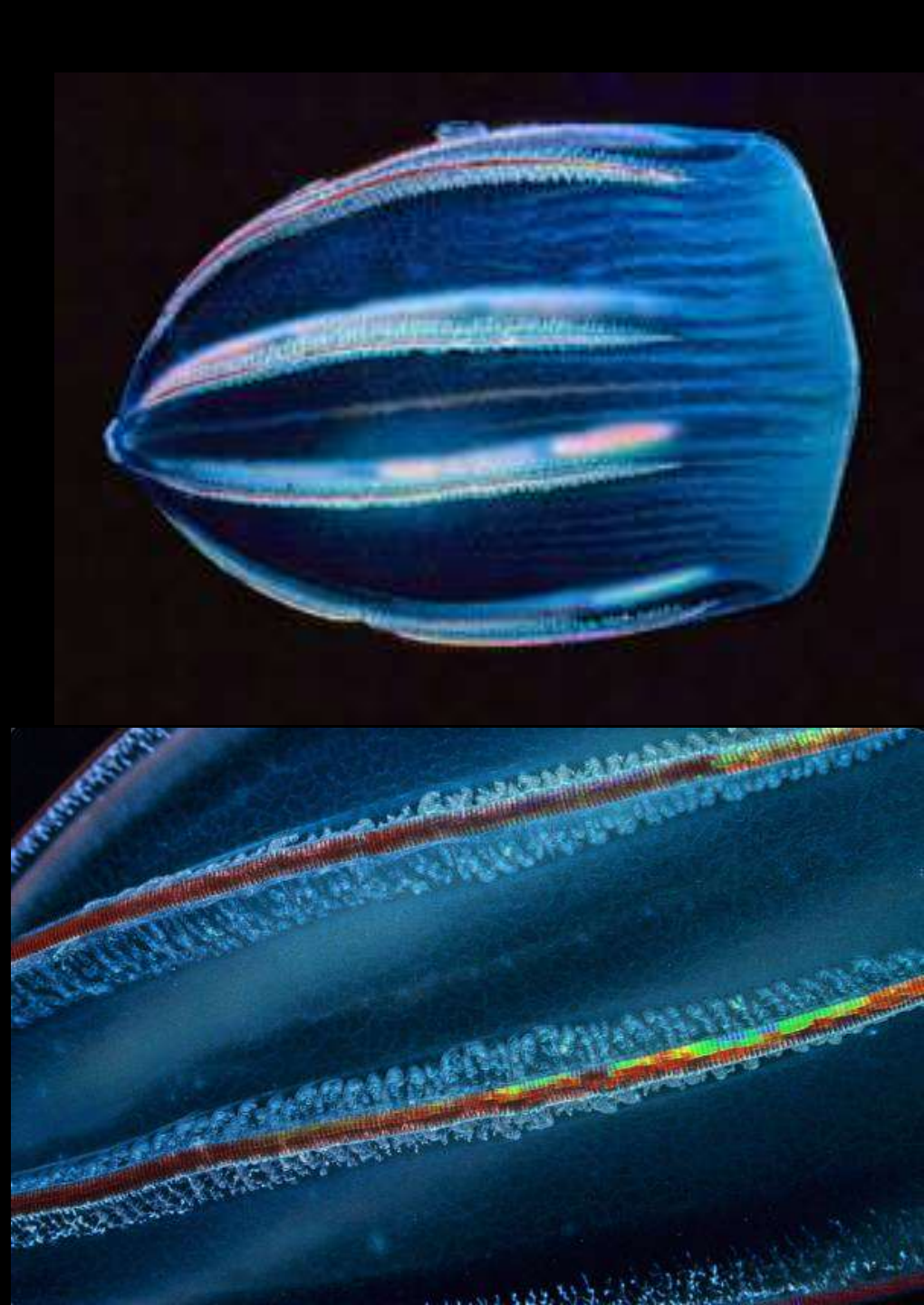
1 — субсагиттальный меридиональный канал ($1'$ — аборальная, $1''$ — оральная часть); 2 — субтентакулярный меридиональный канал ($2'$ — аборальная, $2''$ — оральная часть); 3 — глоточный канал; 5 — щупальцевый канал; 6 — радиальный канал; 7 — гонада.

Отряд Beroida





© haddock@life.sci.luc.edu



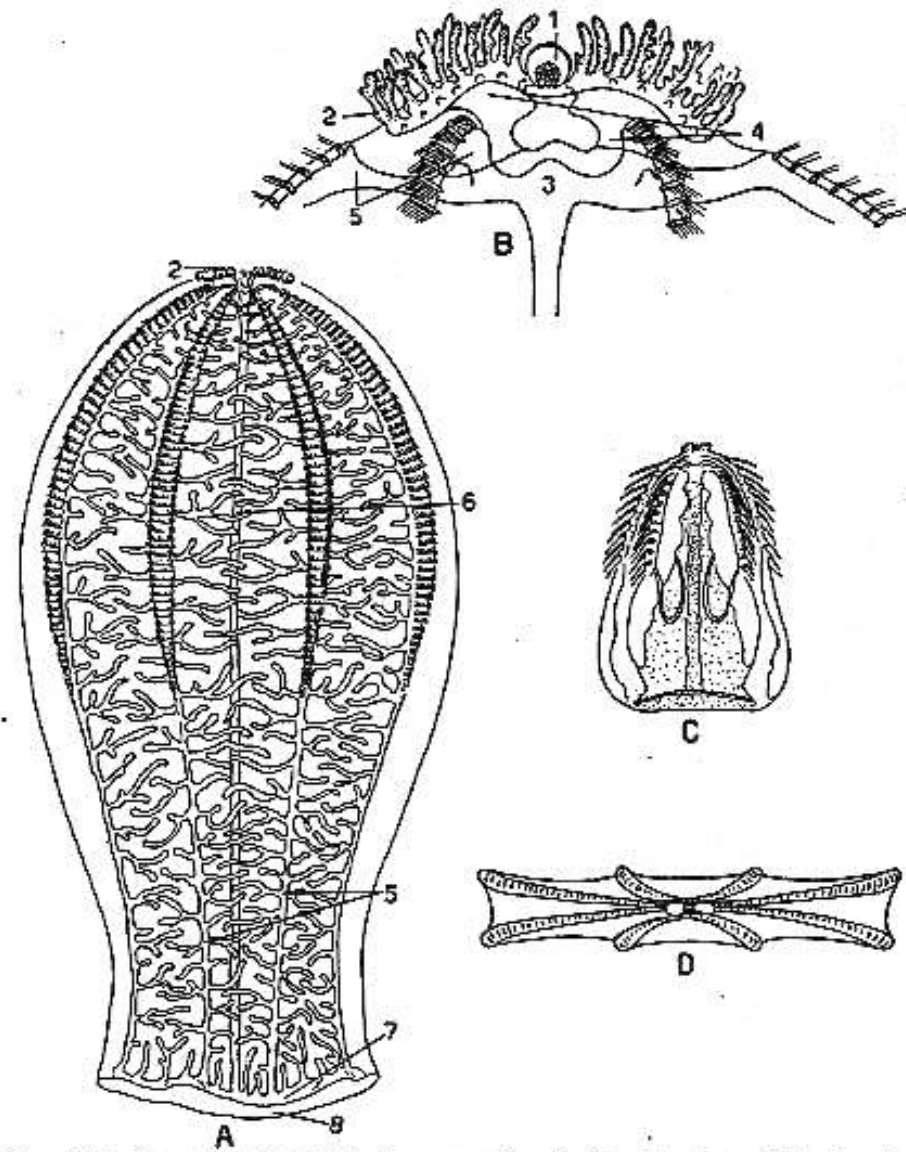
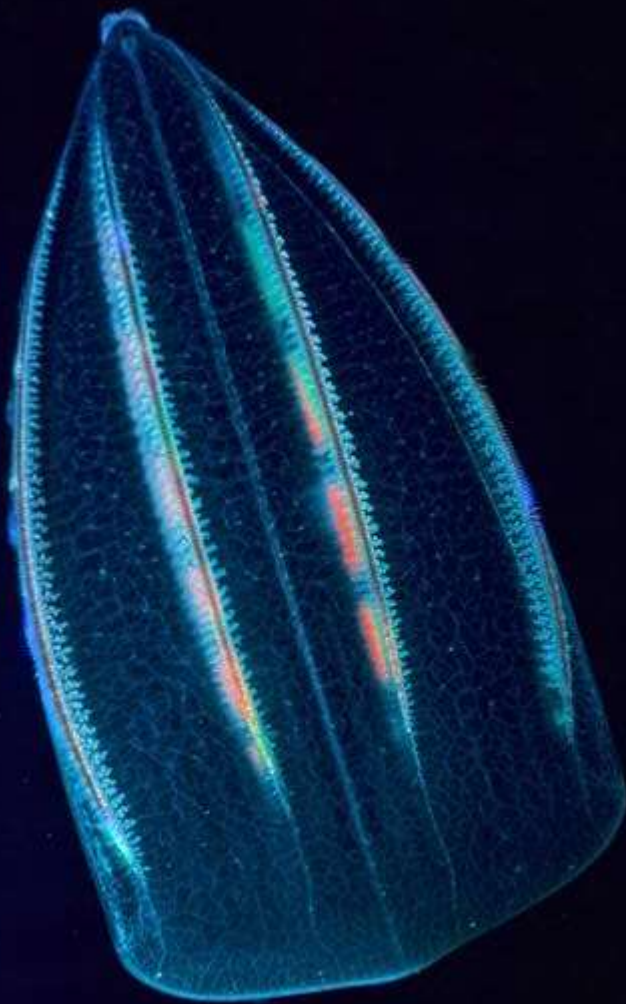


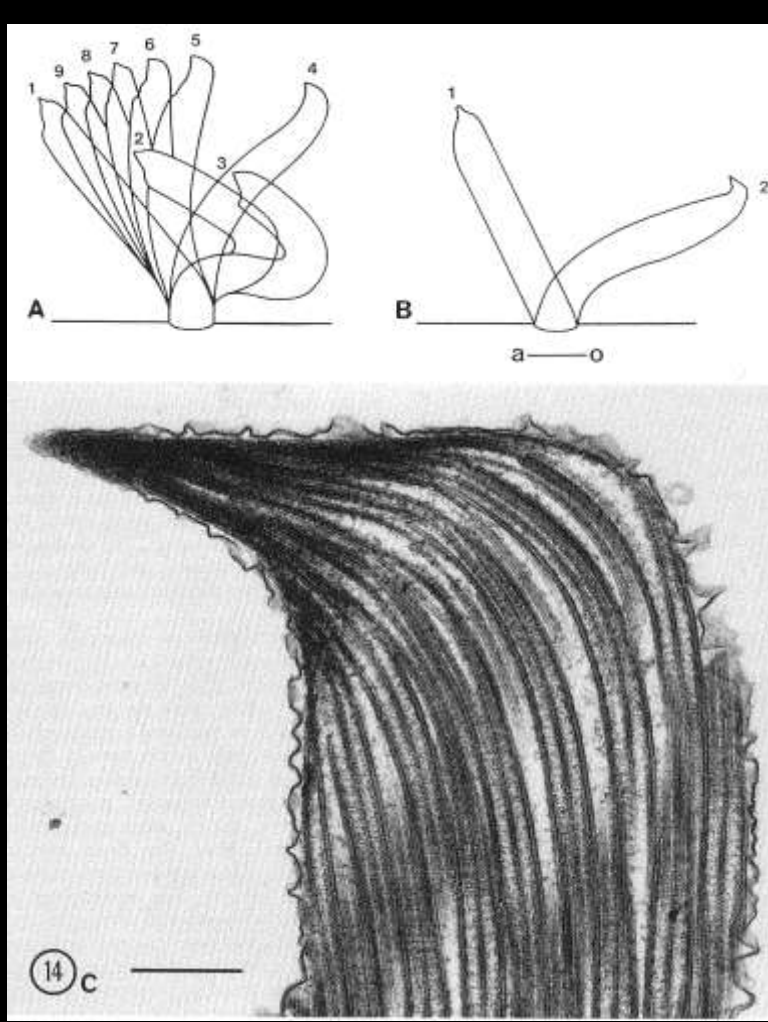
FIG. 213.—*Beroe*. A. Adult *Beroe*, preserved. B. Aboral region of *Beroe*, enlarged. C. Cydippid larva of *Beroe*. D. View of *Beroe* from the aboral end, showing great flattening. (B-D after Mayer, 1912.) 1, statocyst; 2, branched papillae of polar fields; 3, stomach; 4, aboral canals; 5, meridional canals; 6, pharyngeal canal; 7, canal along mouth rim; 8, mouth.

Beroe forskalii

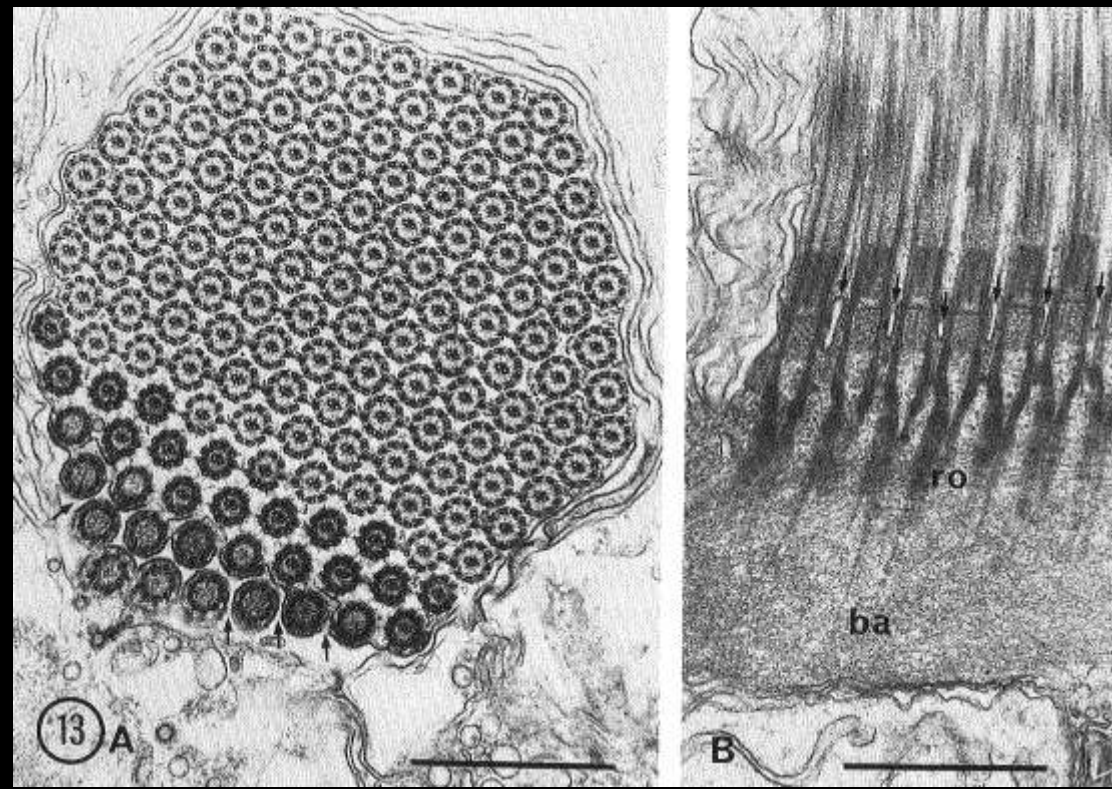
Схема строения *Beroe*

(Hyman, 1940)

Макроцилии

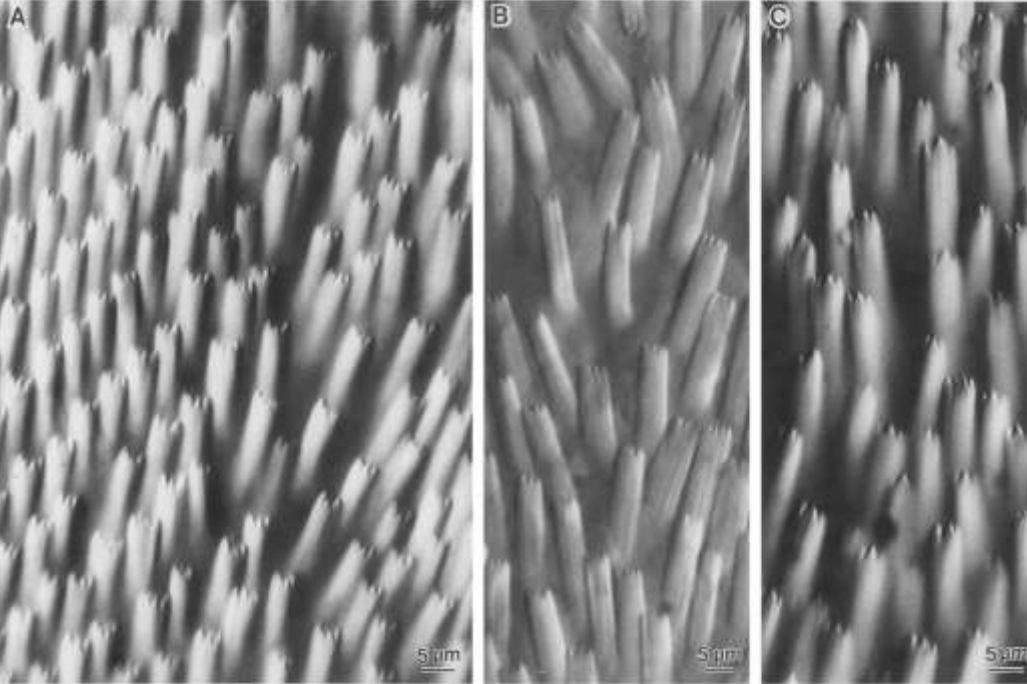


Tracings from cine-films of continuously beating marcocilia (A and B). Effective stroke direction is from right to left. Position 1 is at the end of the effective stroke. a-o, aboral-oral axis. A, successive positions of a macrocilium beating at 2 Hz, showing changes in tip shape during the beat cycle. B, positions at the ends of the effective (1) and recovery (2) strokes of an ATP-reactivated macrocilium. Compare position 2 with C. C, longitudinal medial section through the beaked tip of a recovery-pointing macrocilium. The electron-dense singlet microtubule cap is tilted almost 90° aborally with respect to the shaft. Bar=0.5 mkm.

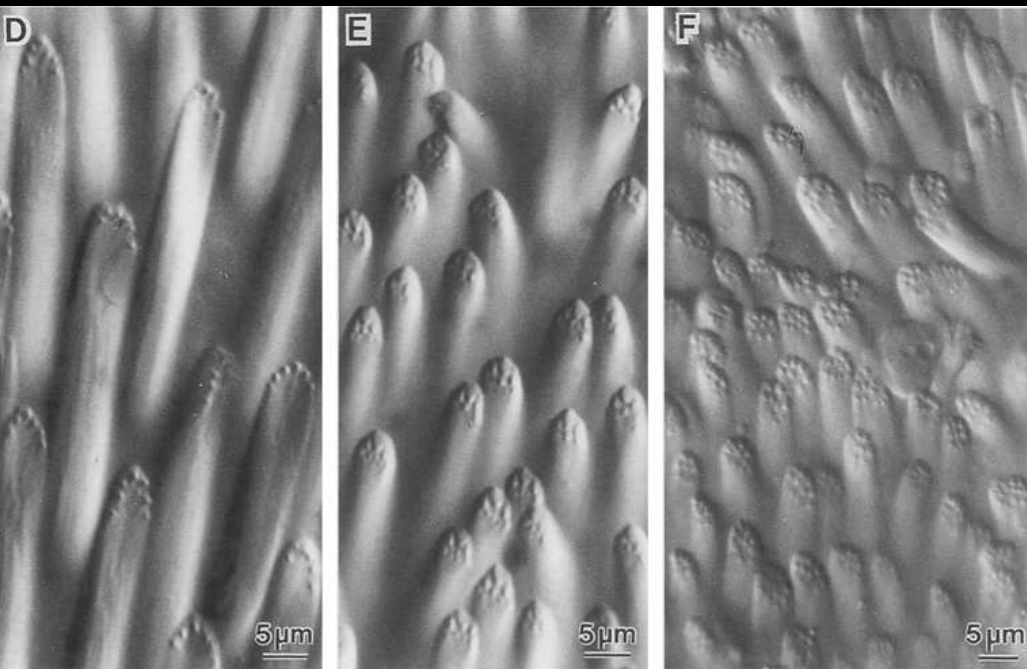


Macrocilia of *Beroe*. A, transverse section of a small macrocilium. The plane of section is slightly oblique and passes through the bases of axonemes. At this level the cell membrane envelops each individual axoneme (arrows). Bar=0.5 mkm. B, longitudinal section through the bases of several axonemes of a macrocilium. An infolding of the plasma membrane is clearly visible at the base of each axoneme (arrows); ba, fibrillar basal body; ro, ciliary striated rootlets. Bar=0.5 mkm.

A B C



D E F

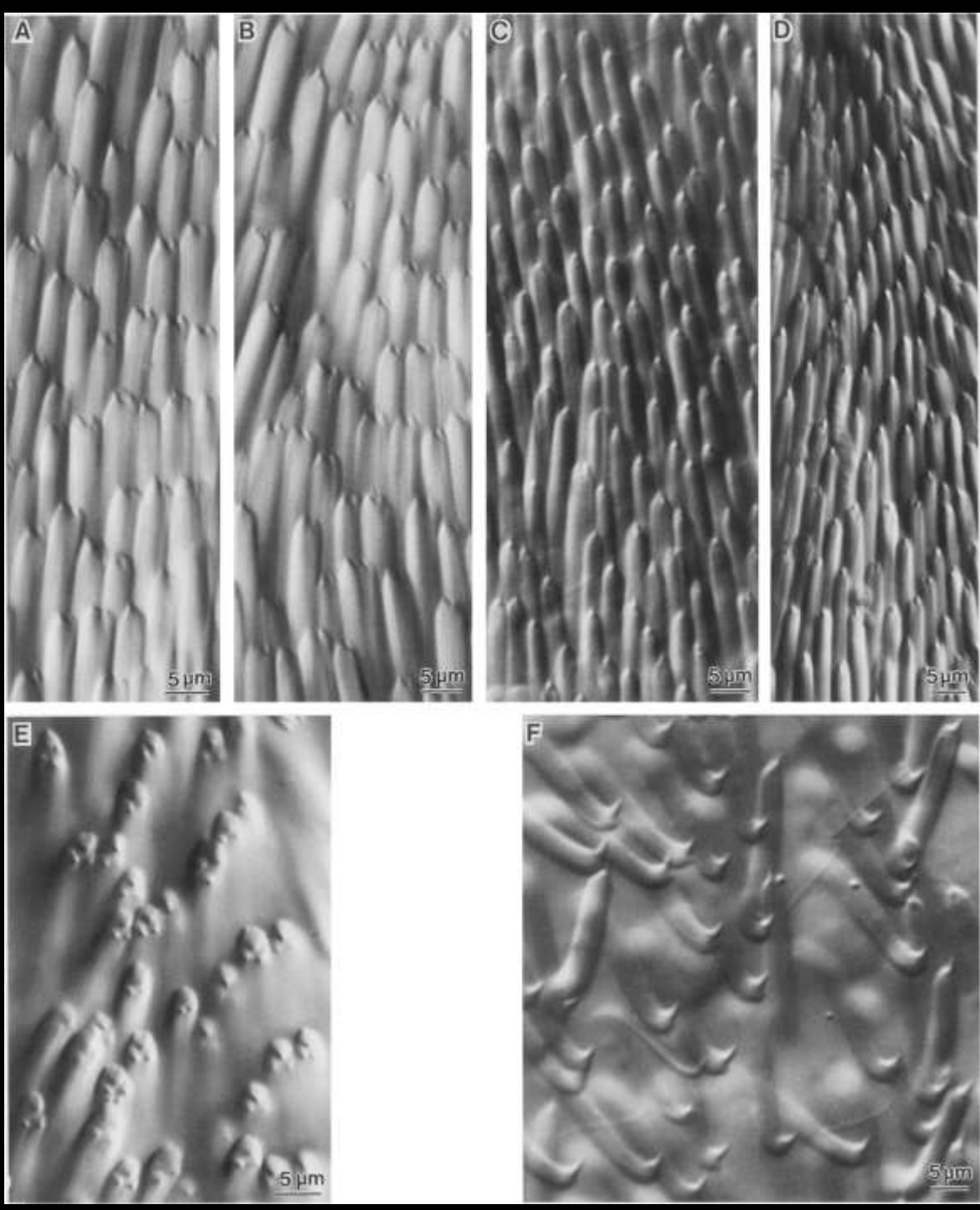


Diversity of macrociliary size,
tooth patterns, and distribution
in *Beroe* (Ctenophora)

1st group

A, *Beroe* sp. B, *B.cucumis*. C, *B.cucumis*. D, *Beroe* sp. E, *Beroe* sp. F, *B. cucumis*.

(Sidney L. Tamm and Signhild Tamm, 1003)



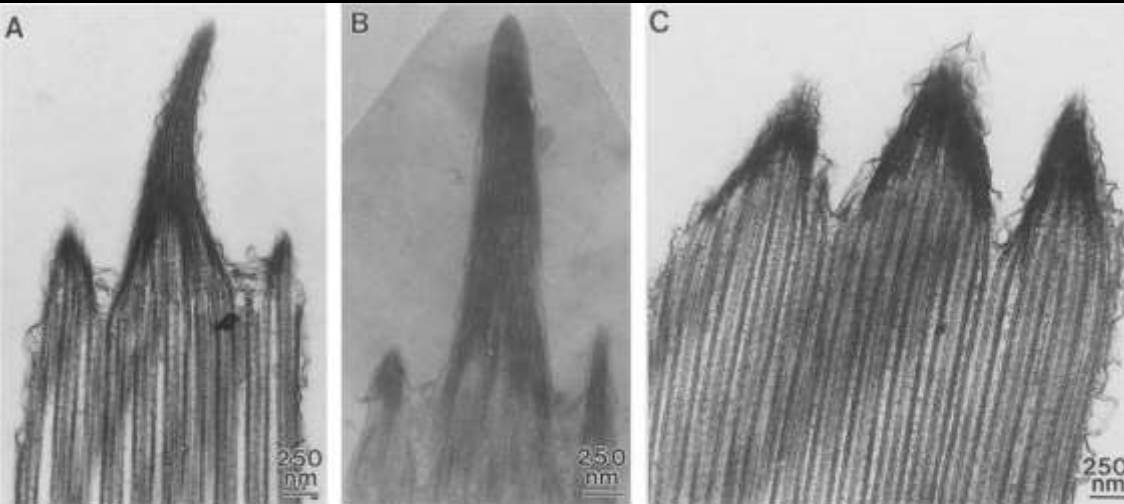
Diversity of macrociliary size,
tooth patterns, and distribution
in *Beroe* (Ctenophora)

1st group

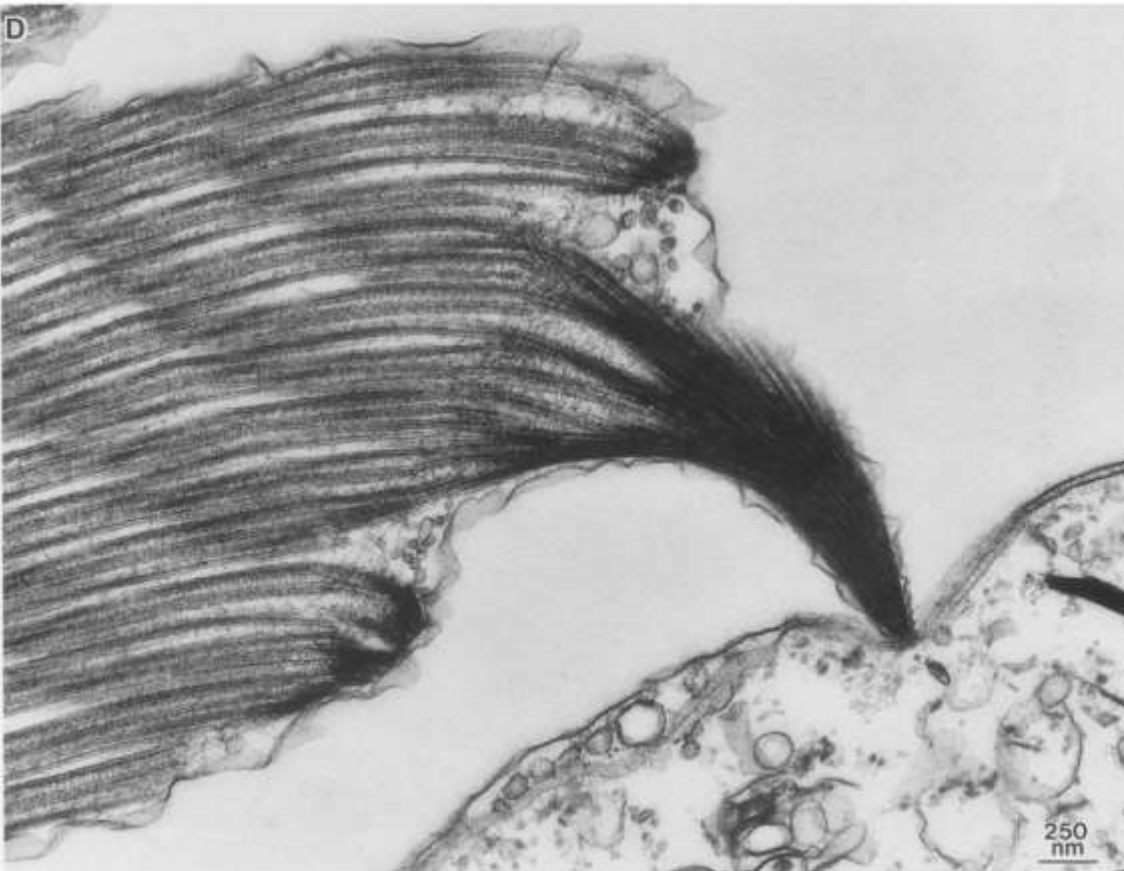
A, *B. abyssicola*. B, *B. abyssieola*. C, *B. gracilis*.
D, *B. gracilis*. E, *B. abyssicola*. F, *B. gracilis*. The
beat plane is parallel to the slide, showing profile
views of the long, hooked tooth of recovery-
pointing macrocilia and the straight tooth of
effective-pointing macrocilia. Oral direction is
down.

(Sidney L. Tamm and Signhild Tamm, 1003)

A B C



Diversity of macrociliary size,
tooth patterns, and distribution
in *Beroe* (Ctenophora)



1st group

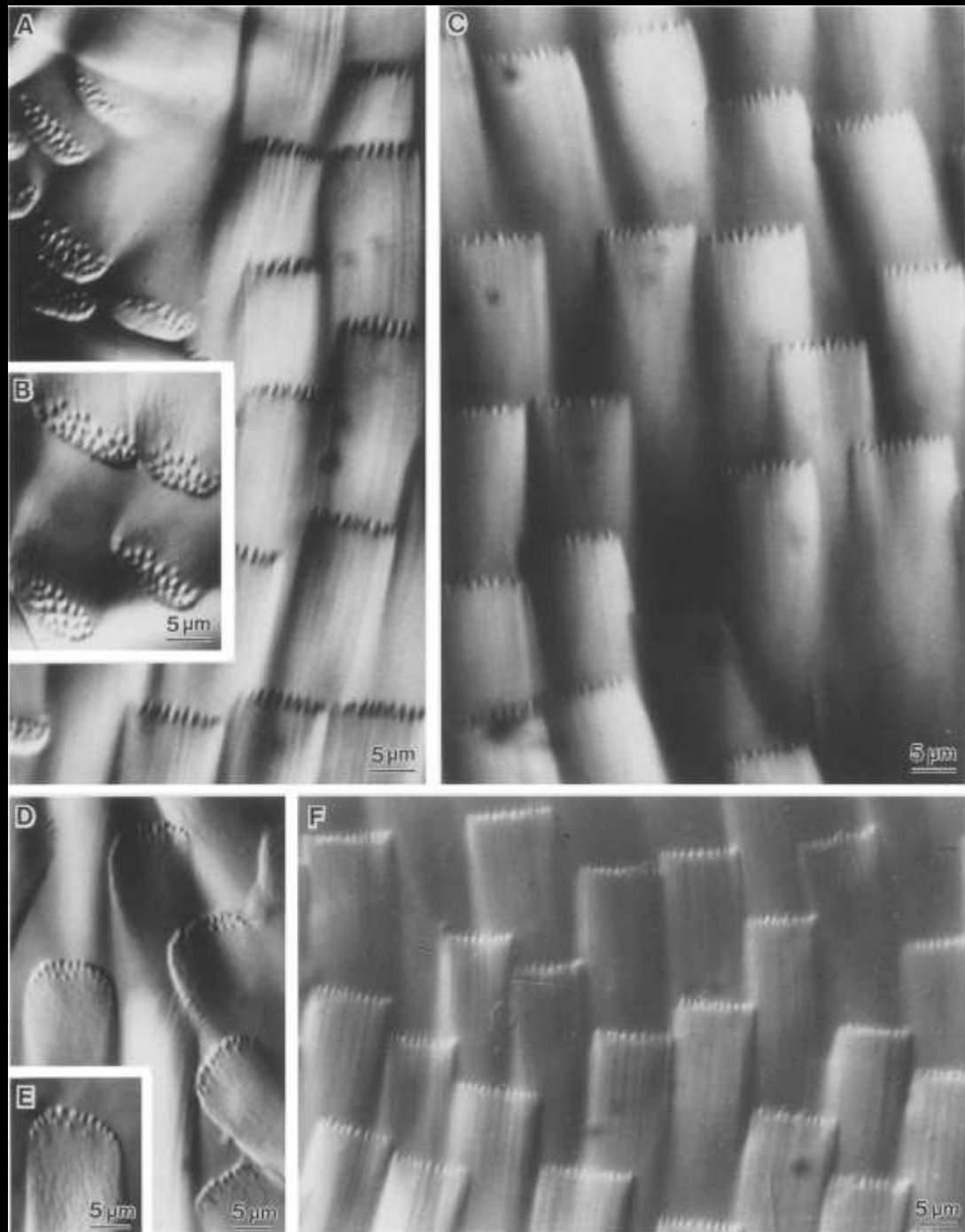
Longitudinal thin sections through macrociliary tips of Group I species, cut normal to the plane of beat (except D). A, *B. graeilis*. B, *B. gracilis*. C, *B. cucumis*. D, *B. gracilis*, sectioned parallel to beat plane.

(Sidney L. Tamm and Signhild Tamm, 1003)

Diversity of macrociliary size, tooth patterns, and distribution in *Beroe* (Ctenophora)

2nd group

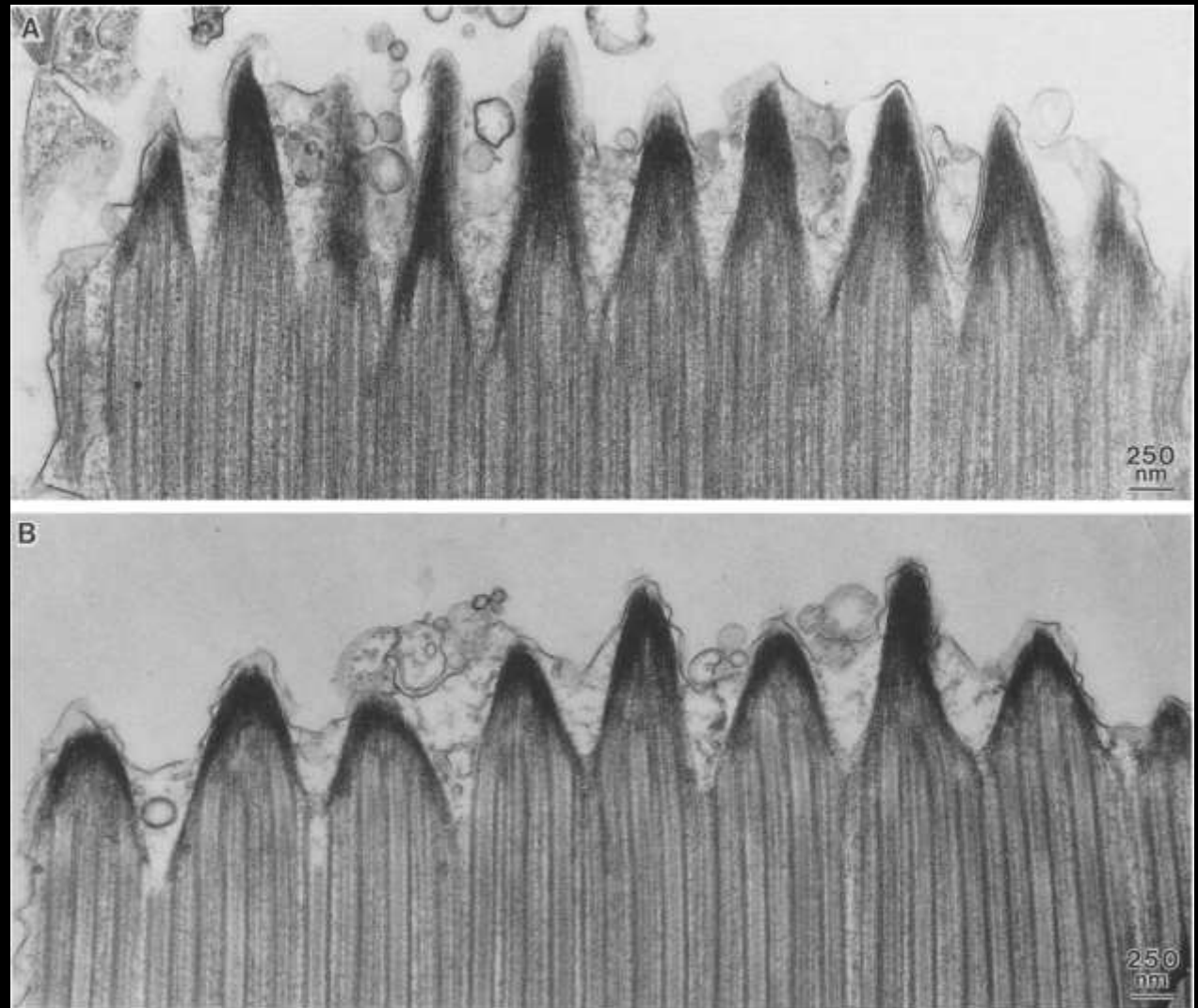
DIC images of distal ends of living macrocilia of Group 2 species. A, C, F Mostly effective-pointing macrocilia; oral direction is down; B, D, E recovery-pointing macrocilia; oral direction is up in D, E. A, B, *B. forskali*. C, *B. rnitrata*. D-F, *B. rnitrata*.



(Sidney L. Tamm and Signhild Tamm, 1003)

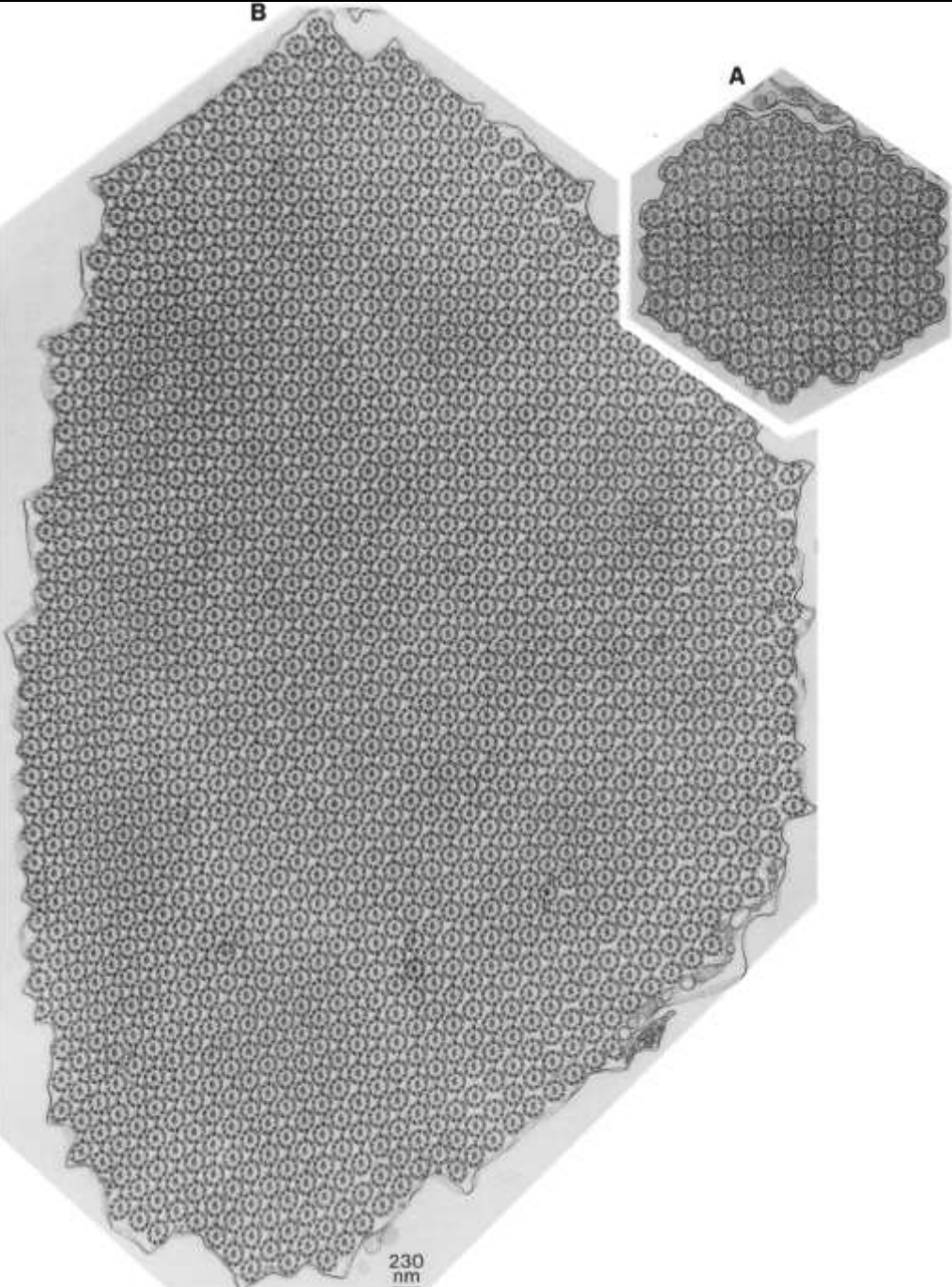
Diversity of macrociliary size, tooth patterns, and distribution in *Beroe* (Ctenophora)

2nd group



Longitudinal thin sections through tips of Group 2 macrocilia, cut perpendicular to the plane of beat. A, *B. mitrata*. B, *B. forskali*.

(Sidney L. Tamm and Signhild Tamm, 1003)



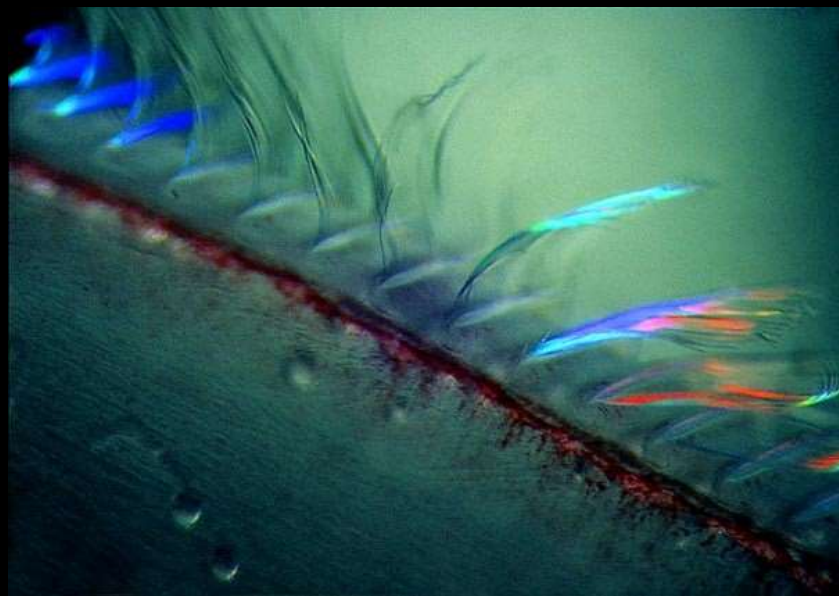
Diversity of macrociliary size, tooth patterns, and distribution in *Beroe* (Ctenophora)

Transverse thin sections through the shaft of macrocilia belonging to members of the two groups of beroids. Effective stroke direction is to the right. A, Group 1 : *B. gracilis*; B, Group 2 : *B. forskali*.

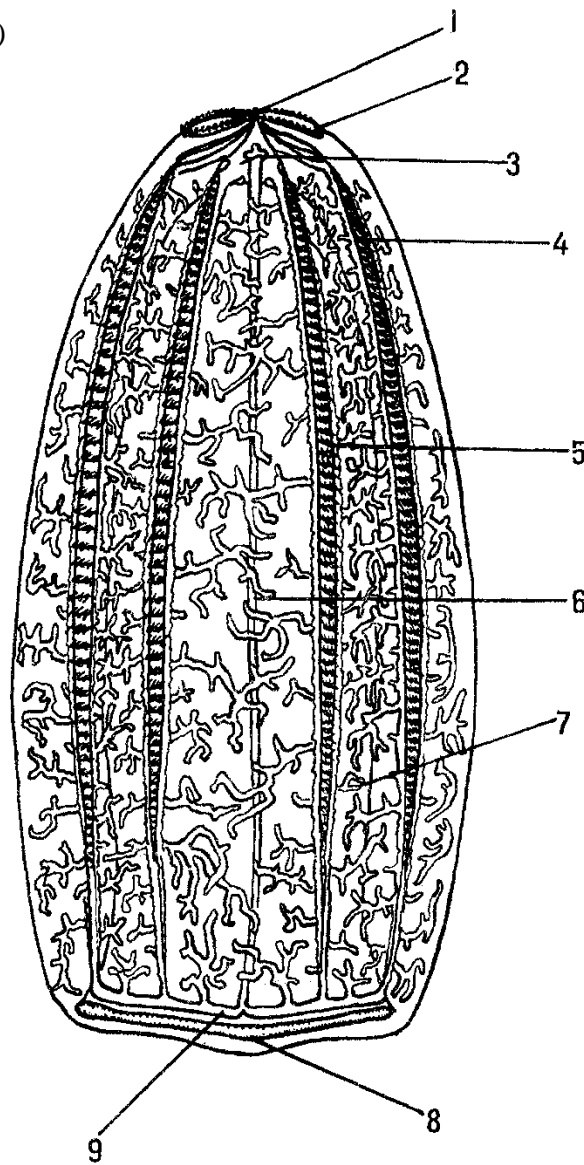
(Sidney L. Tamm and Signhild Tamm, 1003)



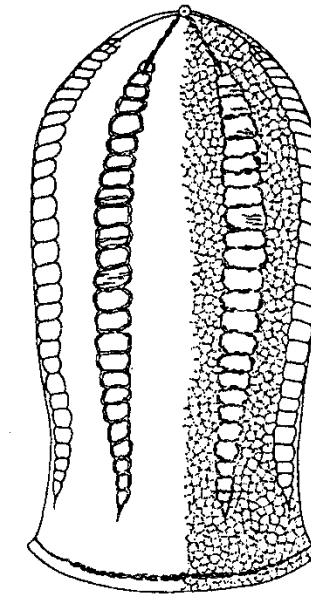
Beroe cucumis



(Серавин 1998)



Beroe ciscumis, внешний вид (по: Mayer, 1912). 1 - аборальный орган, 2 - полярное поле, 3 - инфундибулюм, 4 - субсагиттальный гребной ряд, 5 - субтентакулярный гребной ряд, 6 - парагастральный канал, 7 - дивертикул, 8 - ротовое отверстие, 9 - лабиальный канал.



Нервная система *B. ciscumis* (по: Heider, 1927). Хорошо виден нервный тяж, идущий параллельно ротовому отверстию (низ рисунка), и нервные тяжи, идущие от аборального полюса (под ресничными бороздками) к греб-

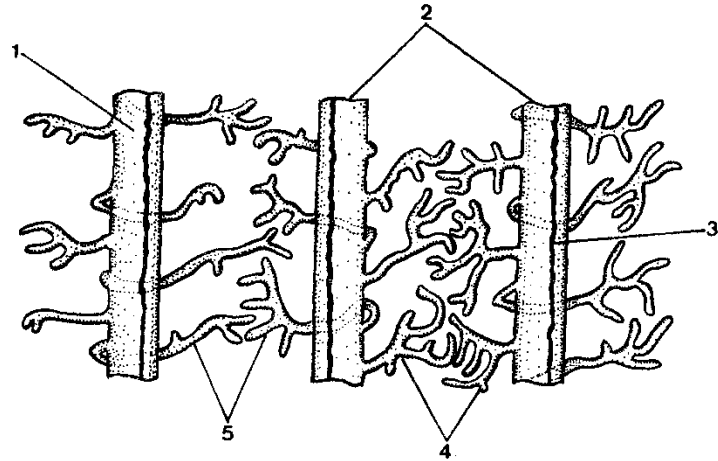
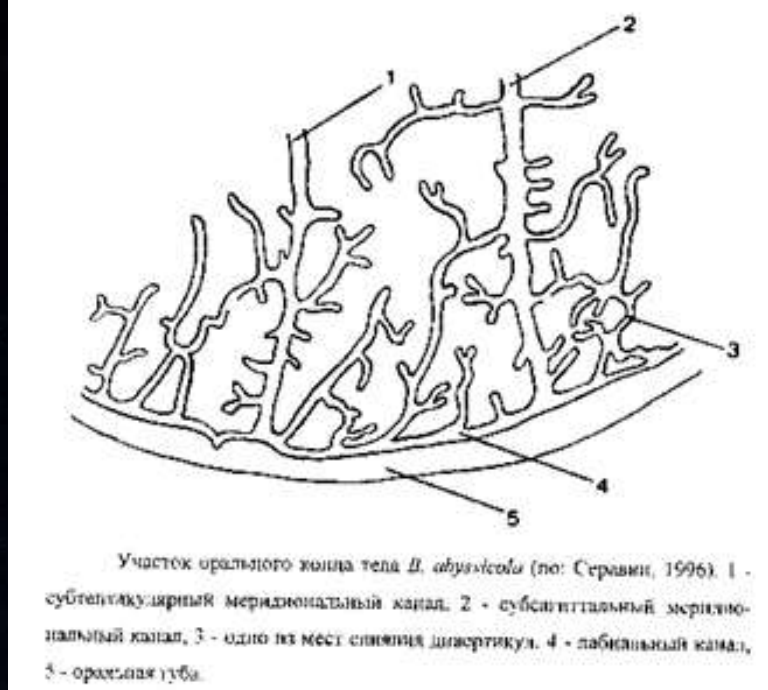


Схема отхождения дивертикул (боковых ветвей) от меридиональных каналов *B. ciscumis* (по: Серавин, 1995б). 1 - субсагиттальный меридиональный канал, 2 - субтентакулярные меридиональные каналы, 3 - цепь пигментных клеток, 4 - дивертикулы соседних одноименных каналов, 5 - дивертикулы соседних разноименных каналов, огибающих снизу свои каналы.

Beroe abyssicola



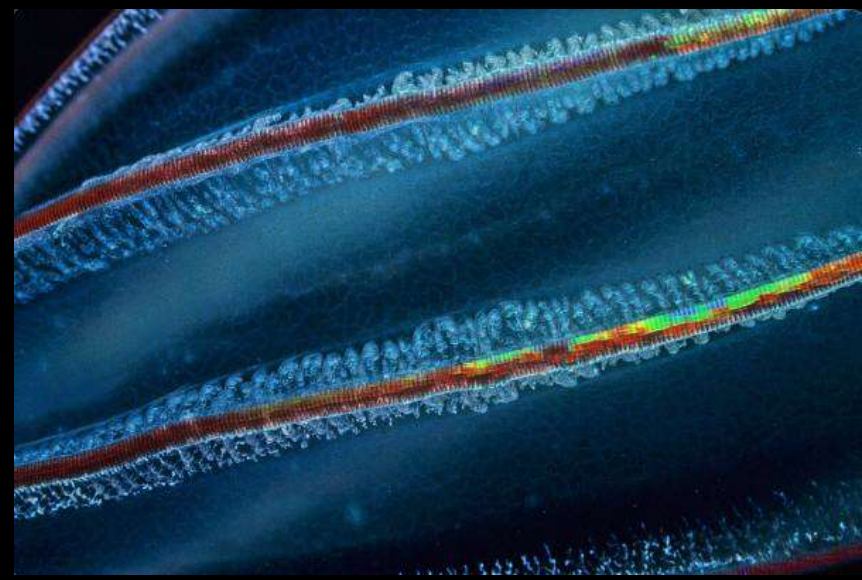
Участок орального конца тела *B. abyssicola* (по: Серавин, 1996). 1 - субтенакулярный меридиональный канал, 2 - субсагиттальный меридиональный канал, 3 - одно из мест слияния дипортикула, 4 - лабиальный канал, 5 - оральная труба.



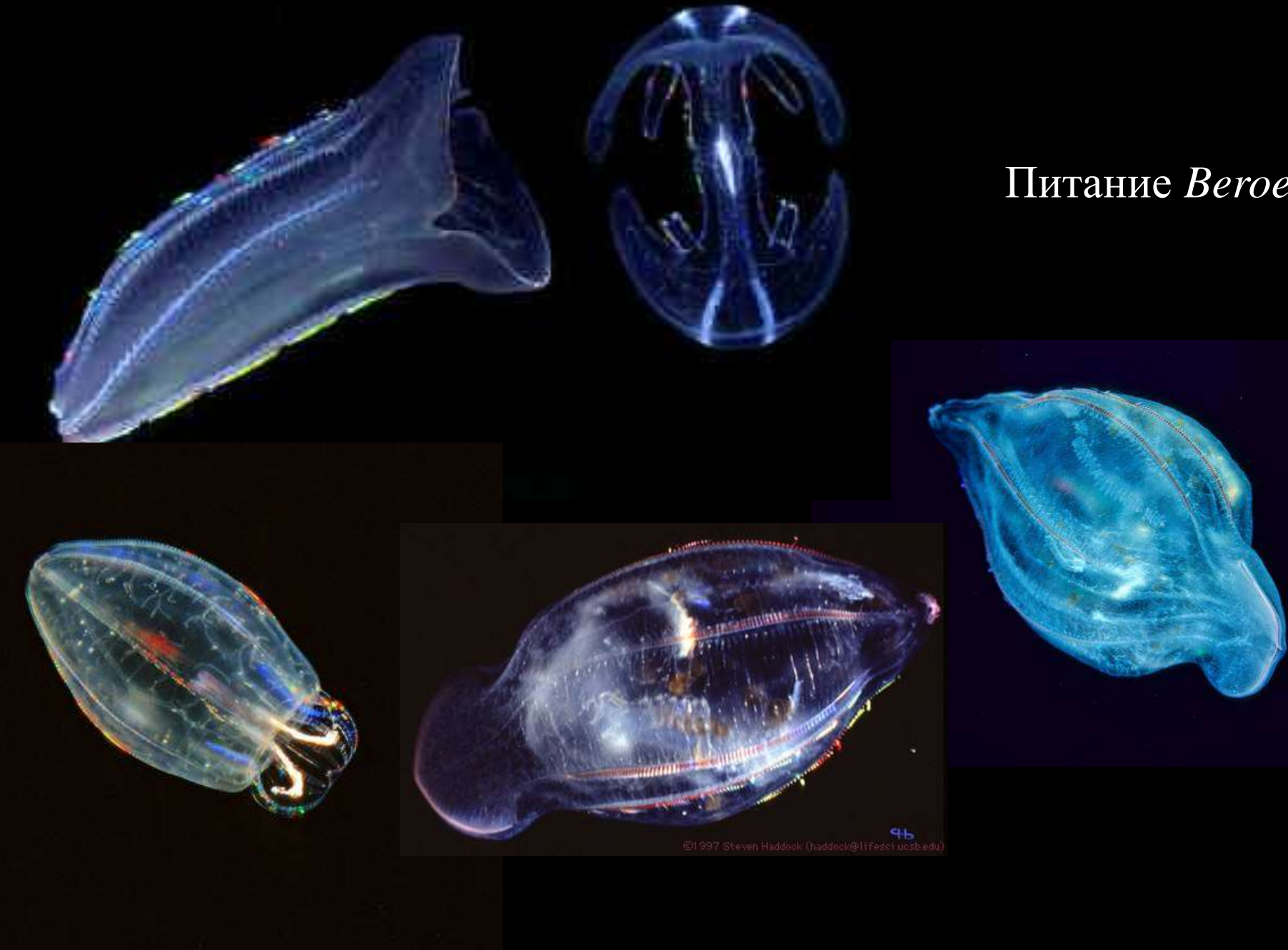
© TOBA AQUARIUM



Beroe forskalii



Питание *Beroe*



Отряд Sambojiida

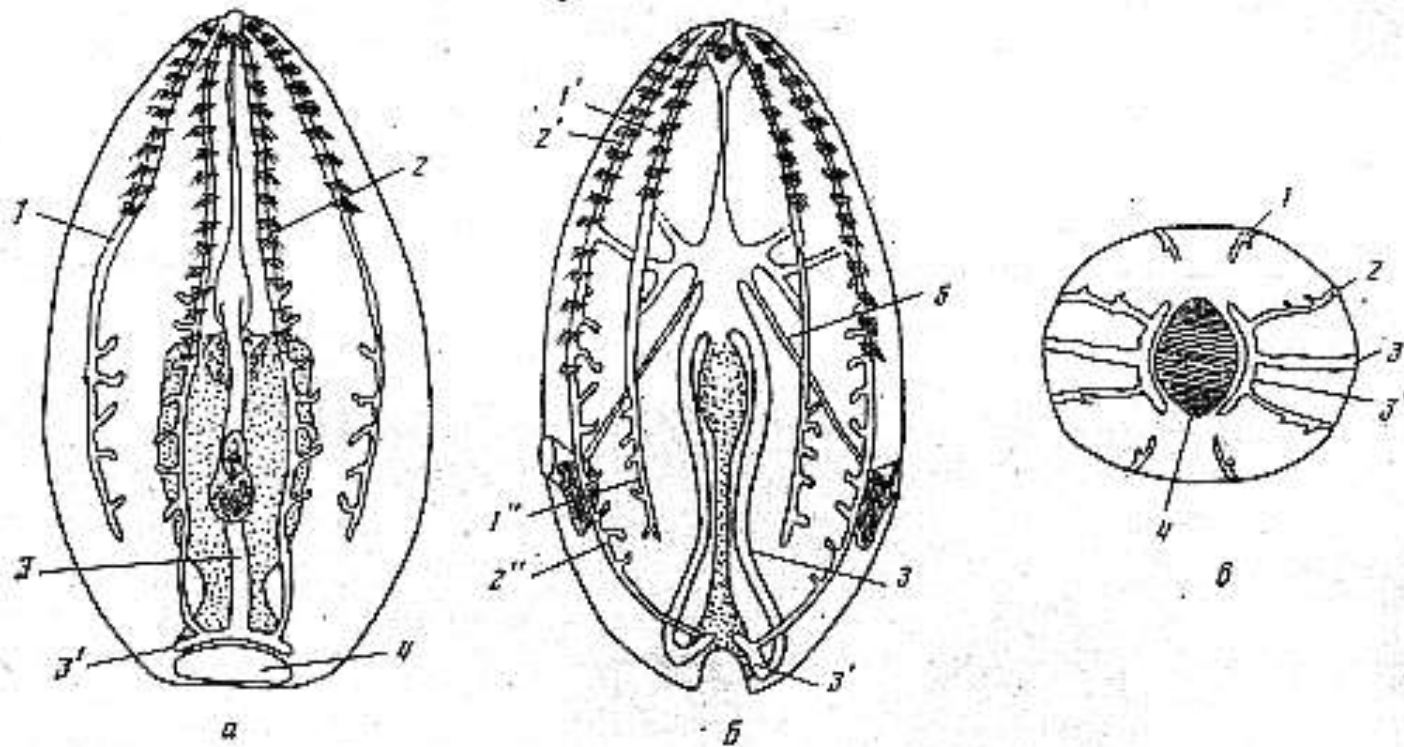
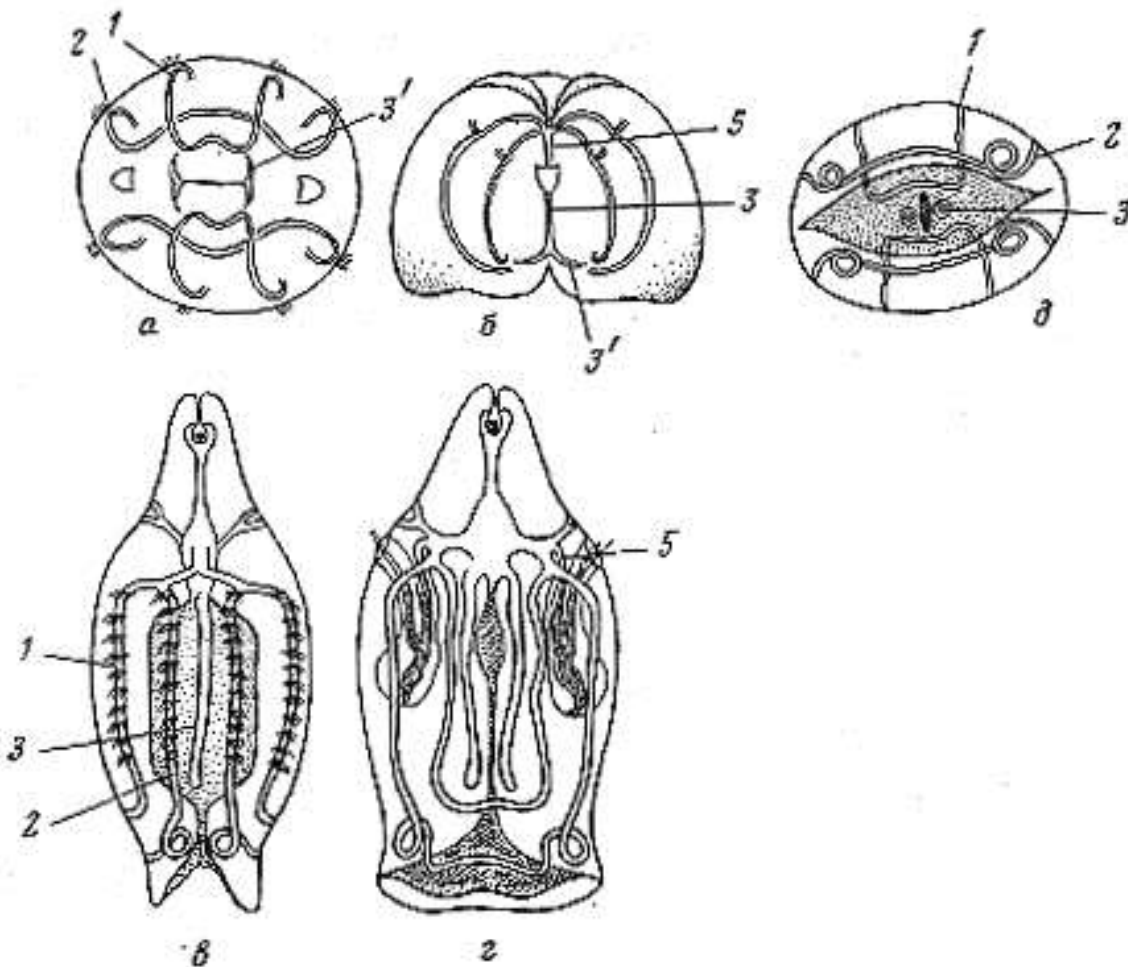


Рис. 1. *Samboja elegatissima*, отряд Sambojiida (по Dawyoff, 1946): а — вид со стороны глоточной плоскости, б — со стороны щупальцевой плоскости, в — с орального полюса; 1 — парасагиттальный (примыкающий к глоточной плоскости) меридиональный канал ($1'$ — аборальная, $1''$ — оральная его часть); 2 — паратрансверсальный (примыкающий к щупальцевой плоскости) меридиональный канал ($2'$ — аборальная, $2''$ — оральная его часть); 3 — глоточный канал ($3'$ — поперечные концевые отростки глоточных каналов); 4 — рот; 5 — щупальцевый канал

Отряд Cryptolobiferida



1 – субсагиттальный
меридиональный канал; 2 –
субтентакулярный
меридиональный канал; 3 –
глоточный канал; 5 –
щупальцевый канал.

Рис. 1. *Cryptolobata primiliva* по Moser, 1909 (α – β) и *Lobocrypta annamita* по Dawydoffi, 1946 (γ – δ) (отряд Cryptolobiferida): α, δ – вид с
орального полюса; β, γ – вид со стороны глоточной плоскости; ε – вид
со стороны щупальцевой плоскости; остальные обозначения в тексте

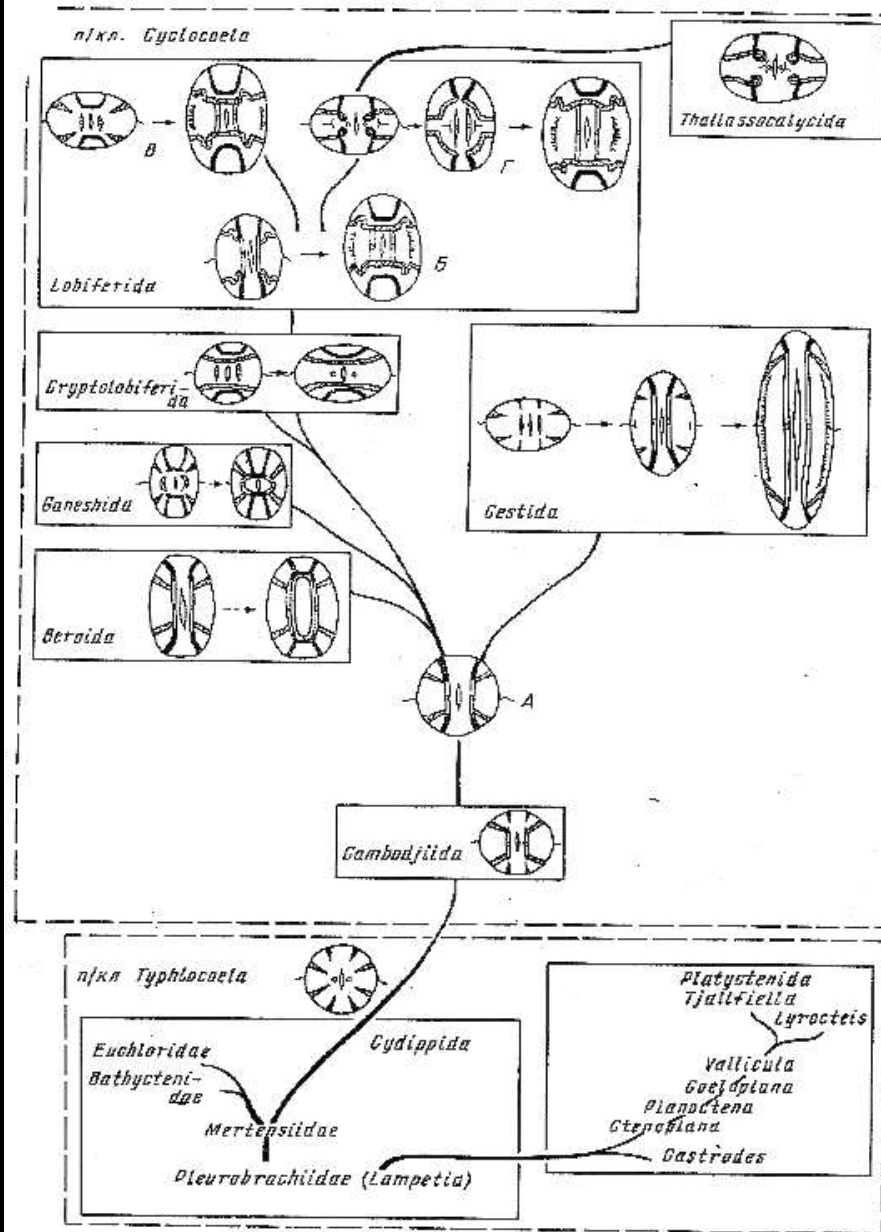


Рис. 3. Схема эволюции гребневиков в свете строения и формирования в онтогенезе их перистомальной системы: А — филогенетическая цестидная стадия, Б — I тип развития перистомальной системы в онтогенезе Lobiferida, В — II тип, Г — III тип. Горизонтальные стрелки обозначают переходы из одной стадии в другую в онтогенезе. Зачернены парасагиттальные (окологлоточные) меридиональные каналы, пунктиром показаны паратрансперсальные (околощупальцевые) меридиональные каналы, белым — слоточные каналы. Везде вид с орального полюса

(Осповат, 1985)